

## 構造用鋼材の塑性曲げ疲労に関する実験

京都大学工学部 正員 後藤 尚男 京都大学工学部 正員 鶴田 弘行  
京都大学大学院○学生員 小池 武 神戸市役所 正員 泉並 隆二  
京都大学大学院 学生員 脇田 和試 京都大学研究生 杉原 豊

1. まえがき 構造物が大変位振幅をくり返し受けける場合の破壊に対処するため、一定変位振幅および変動変位振幅による構造用鋼材のくり返し曲げ破壊試験を行なった。本実験では、載荷開始から破断に至る全破壊過程を反力、1サイクル当たりの消費エネルギー、剛性などの材料特性の劣化の面から詳細に追跡し、また変動荷重下での破壊過程を明らかにするために二段変位振幅試験を実施した。これらはいすれも構造物の耐震終局性状に関する基礎研究の一環として実施したものである。

### 2. 実験の概要

#### 2.1. 実験方法

(1) 供試体 本実験で使用した供試体は圧延されたすのこS5A1鋼材(新日本製鉄製)で、H型断面寸法は、 $100 \times 50 \times 5 \times 7\text{ mm}$ である。全長 $1500\text{ mm}$ の供試体をスパン長 $1000\text{ mm}$ の単純ばかりとして用い、スパン中央部でくり返し塑性曲げ集中荷重が加えられる。今回は51本の鋼材を用いて実験を行なった。載荷中に載荷点付近のフランジおよびウェブに局部座屈が生じることが予想されるため、載荷点付近に高炭素鋼の補剛材を挿入した。

(2) 載荷方法 載荷は電気油式ランダム加振試験機(鷺宮製作所製)を用いて行なった。この試験機の容量は荷重；±15ton、変位；±150mmおよび振動数；DC～60Hzであり、本実験の実施に際して十分に余裕のある容量であった。アタッチナットは載荷中に載荷方向に垂直な面内での回転を拘束していないので、載荷点を反曲点とするS字形の横倒れ座屈の起る可能性は十分にある。

(3) 制御方法 本実験では、加振変位をすべて供試体の降伏変位よりも大きく設定して、変位制御による完全両振り塑性曲げ載荷とした。加振変位波形は正弦波であり、その振動数は $0.5\text{ Hz}$ で変位振幅にかかわらず一定とした。

(4) 計測方法 試験機の計測器盤に組み込まれた変位制御盤、荷重制御盤の変位記録、荷重記録の出力をX-YレコーダのX軸、Y軸にそれぞれ接続して履歴復元力曲線を記録した。また同時に変位記録、荷重記録をペレレコーダーにも接続し、変位と荷重の時間曲線も同時に記録した。

#### 2.2. 実験結果の解析方法

X-Yレコーダに記録された履歴復元力曲線より反力 $P_n$ 、1サイクル当たりの消費エネルギー $W_n$ 、全消費エネルギー $\sum W_n$ および載荷方向反転時の剛性(弾性剛性) $G_n$ を求めた。鋼材内部の微視的破壊の進行は、塑性曲げ変位試験の開始時から徐々に進行していくと思われるが、本研究では、むしろ鋼材の機械的性質に明確な変化が現われる点に注目して、反力特性が不連続的に変化する点を測定した。これらの不連続点は、フランジおよびウェブ表面に肉眼で識別可能な大きさの亀裂の入るくり返し回数に対応していたので、以下これらの回数をフランジクラック発生回数 $N_f$ 、ウェブクラック発

生回数  $N_c$ 、破断回数  $N$  と呼ぶ。また入力変位振幅は、降伏変位  $X_y$  で除して無次元化した韌性率振幅  $\alpha$  で表示することにする。

### 3. 定変位振幅試験

定変位振幅くり返し試験下での鋼材の反力特性、1サイクル当たりの消費エネルギー、弾性剛性等の劣化性状について考察をすすめる。今回の実験において韌性率振幅  $\alpha$  のある値を境にして鋼材の破壊機構が次のように異なるた。すなわち韌性率振幅  $\alpha$  が 2.46 以下の振幅では、フランジ、ウェブでの局部座屈も非常に小さく、横倒れ座屈も生じることがなく、くり返し載荷によつて生じる亀裂はスパン中央の載荷点に生じてその箇所で破壊した。このような破断性状を示した供試体を二字では「塑性曲げ型疲労破壊」と呼ぶ。一方、韌性率振幅が 2.46 以上の大幅幅のときには横倒れ座屈を生じ、供試体は二字形に座屈変形した。この場合亀裂は載荷点ではなく二字形の最も曲率の大きい箇所に生じてその箇所に生じて破壊した。このような破断性状を示す供試体を座屈型疲労破壊と呼ぶ。同時に実施した一向向載荷曲げ試験（降伏変位  $X_y = 4 \text{ mm}$ 、降伏反力  $P_y = 5.4 \text{ ton}$ ）において塑性横倒れ座屈が生じたときの韌性率振幅が 11.25 ～ 11.40 であることを比較すると、くり返し載荷試験の場合には、一向向載荷試験の場合の 5 分の 1 程度の変位振幅で塑性横倒れ座屈が発生したことになる。

#### 3.1. 反力特性と載荷回数の関係

Fig. 1 には 10 本の供試体についてそれらの反力  $P_n$  のくり返し回数による変化の性状を示した。韌性率振幅  $\alpha = 1.08, 1.31, 1.65, 2.02, 2.37$  の場合は塑性曲げ型疲労破壊タイプであり、 $\alpha = 2.46, 3.87, 4.76, 9.77, 14.73$  の場合は、座屈型疲労タイプである。

塑性曲げ疲労タイプでは、反力特性は初期数サイクルの間でその値を上昇させ、その後フランジ表面にクラックが生じるまで、非常に緩慢な劣化性状を示すがクラック発生後は急激にクラックが成長して破壊した。最大反力が現われるまでの載荷回数は変位振幅によつて、3 ～ 9 回の範囲ではばらつき 2 ～ 3 回。反力が数サイクル目まで上昇していくことは、くり返し載荷を加えるごとに逐次歪硬化が進行することを示してある。

一方、入力変位振幅が大きいため初期の数サイクル目に横倒れ座屈を生じた座屈型疲労タイプの特性は、数サイクル目に座屈を生じるまでは塑性曲げ疲労タイプと同様に歪硬化による反力特性の増大が見られる。しかし一度横倒れ座屈が生じてしまうと反力特性は累進的に低下していくが、降伏反力の 20 % 程度まで低下した時横倒れ座屈の進行は停止し、それ以後はフランジ表面にクラックが発生するまでややゆるやかに反力が低下していく。

#### 3.2. 1 サイクル当たりの消費エネルギーと載荷回数の関係

Fig. 2 には、1 サイクル当たりの消費エネルギー  $W_n$  の載荷回数による変化の性状を示す。1 サイクル当たりの消費エネルギーは各振幅とも第 1 サイクルにおいて最大である。そして塑性曲げ型疲労タ

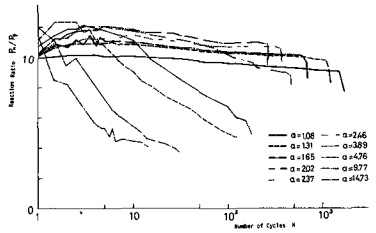


Fig. 1

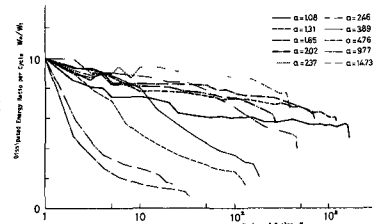


Fig. 2

イフ<sup>°</sup>では初期数サイクルの間にかなりの程度の劣化を生じるが、それ以後は比較的緩慢な劣化性状である。に対し、座屈型疲労タイフ<sup>°</sup>では急激な劣化が累進的に進行していく。

### 3.3. 反力特性・1サイクル当たりの消費エネルギー・弾性剛性の間の相互関係

Fig. 3, 4には、反力特性・1サイクル当たりの消費エネルギーおよび弾性剛性の載荷回数による変化の様相を韌性率振幅 $\alpha = 1.65$ , 3.87の場合について示したものである。これら2図における実線・破線・一点鎖線はそれぞれ反力特性・1サイクル当たりの消費エネルギー・弾性剛性を表わす。

### 3.4. S-N曲線

Fig. 5は、韌性率振幅と疲労寿命の関係を両対数軸で示したもので、これは疲労試験におけるいわゆるS-N曲線に相当する。同図中の○印で示した点は塑性曲げ型疲労破壊を表わし、その他は、座屈型疲労破壊におけるいくつかの段階に至る載荷回数を示している。この両タイプの境界は、 $\alpha = 2.46$ 付近であることがわかる。塑性曲げ型疲労タイフ<sup>°</sup>では、バラツキが多く、直線近似として次の実験式が得られた。

$$N \alpha^{2.58} = 2.30 \times 10^3 \quad (1)$$

図中の実線は、式(1)を表わす。

座屈型疲労破壊タイフ<sup>°</sup>については、座屈開始回数、100%反力を示す回数、フランジ表面の亀裂発生時の回数などを示し、破壊標準として同図中に破線・一点鎖線・二点鎖線で示した。図中の番号1, 2, 3の場合は、塑性曲げ型疲労破壊タイフ<sup>°</sup>から座屈型疲労タイフ<sup>°</sup>へ移行する境界付近の状況を示している。

Fig. 6には、韌性率振幅と疲労寿命に至るまでの全消費エネルギー $\sum W_h$ を $E_t = \sum W_h / P_g \cdot X_g$ の形で無次元表示したものである。韌性率振幅 $\alpha = 2.46$ 付近で、 $\tau - \epsilon$ が直線から離れるのは、塑性曲げ型疲労破壊と座屈型疲労破壊が同時に生じたため、より多くのエネルギーを消費した結果であると考えられる。また韌性率振幅 $\alpha = 1.0$ 以下で左側にズレているのは、弾性域での疲労に入ることによる。

### 4. 変動変位振幅試験

変動曲げ荷重下での構造部材の破壊過程を明らかにするために、二段変位振幅試験を行なった。変位振幅の組み合わせは、 $\alpha = 1.50 \rightarrow \alpha = 2.25$ の増加振幅試験と $\alpha = 2.25 \rightarrow \alpha = 1.50$ の減少振幅試

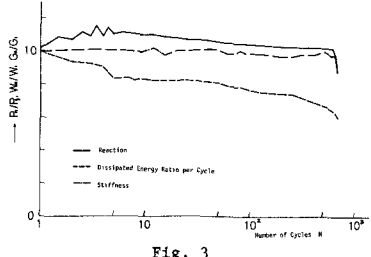


Fig. 3

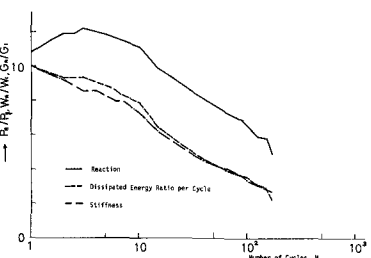


Fig. 4

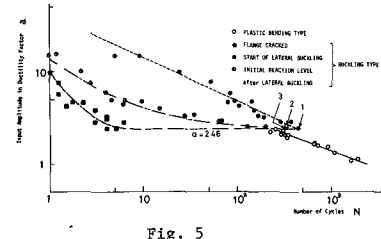


Fig. 5

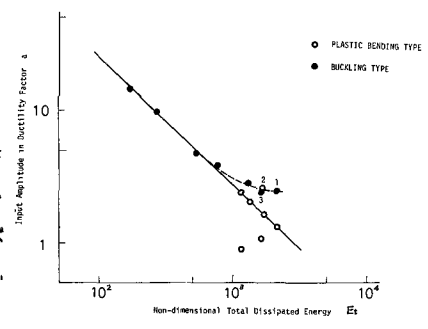


Fig. 6

驗である。

二種の試験における疲労寿命を Miner の規準に従う全損傷度  $\sum D = D_1 + D_2 = \frac{n_1}{N_1} + \frac{n_2}{N_2}$  と評価すると、増加振幅試験の 6 本の供試体では、全損傷度の平均値 1.002、標準偏差 0.065 で、Miner の規準とよく近似する結果となつた。これに対し、減少振幅試験の 12 本の供試体では、全損傷度の平均値は 1.178 であり、標準偏差が 0.092 であることから、Miner 規準より大きな値となつた。一方、弹性限以下の荷重レベルにおける、応力増加試験の全損傷度が応力減少試験の全損傷度より大きくなることが報告されてゐるが、本節の結果は上述のように、それとは逆の傾向を示すばかり、これは塑性曲げ疲労破壊の一つの特徴を示すものと考えられる。

Fig. 7, 8, 9, 10 に反力をさむ 1 サイクル当たりの消費エネルギーと Miner 規準による損傷度の関係を示した。増加振幅試験では、振幅変化後  $\alpha = 2.25$  の定振幅試験結果まで施行する。振幅変化後数サイクルまでの反力の値がわずかに上昇しており、新たに歪硬化が起きていると考えられる。反力の落ちても破壊寸前までやめと急救<sup>1) 10</sup>一定振幅試験と同様の挙動を示す。一方減少振幅試験では、反力は振幅変化後  $\alpha = 1.50$  の定振幅試験の半分反力値より若干低くなる。しかもこのことは、先行載荷のくり返し数の多さによらず同様である。また反力、落ちても一定振幅試験の場合と異なり緩慢なカーブ<sup>2)</sup>で減少する。振幅変化後増加振幅試験のみられた歪硬化も生じてないようである。この Miner 規準から予想される寿命より多くくり返し数で破壊に至つた。1 サイクル当たりの消費エネルギーは反力の値が振幅変化後かなり減少していきながらかわらず、一定振幅試験の場合とかわらぬ値をとつた。以上のように、荷重の載荷順序の変更により異なる結果が得られたことに注目し、次のよきを推論を試みた。この試験では、供試体の中央で塑性ヒンジ<sup>3)</sup>が形成された。増加振幅の場合には、振幅増加後、歪硬化によつてヒンジ領域が拡大し、反力もまた増大するが、減少振幅の場合には、振幅減少後も振幅  $\alpha = 2.25$  の塑性ヒンジの影響を残したまま  $\alpha = 1.50$  の変位を受けけることになる。後者の場合には、相対的に大きな塑性ヒンジのために曲率が小さくなり、曲げモーメントも小さくなること、反力を低下することになる。また、 $\alpha = 1.50$  に対する塑性域としては相対的に大きな塑性域のため、破壊までより多くのエネルギーを必要とすると言えると破壊くり返し数の増加も説明できると考えられる。

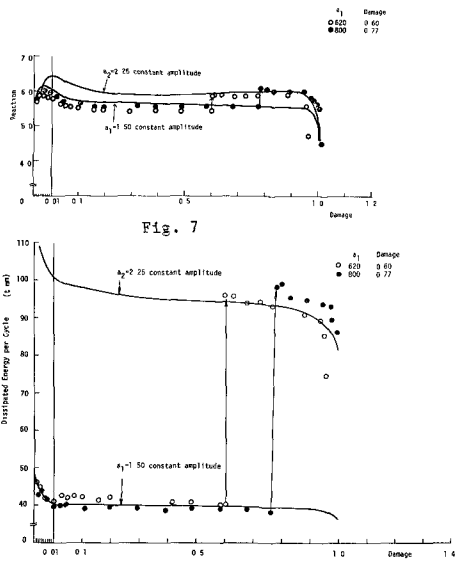


Fig. 7

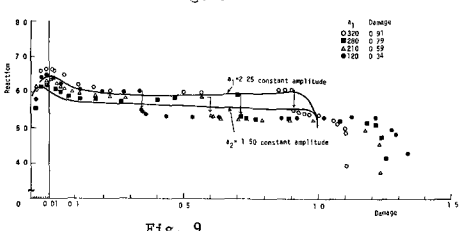


Fig. 8

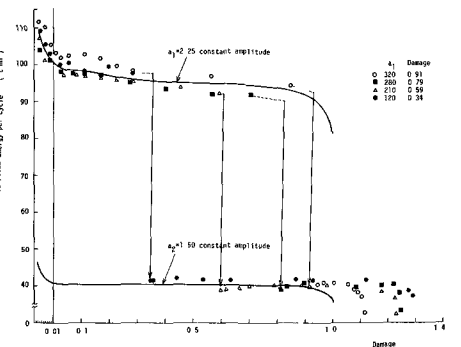


Fig. 9

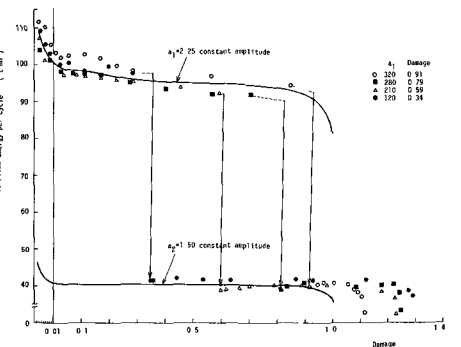


Fig. 10